

講義資料

<http://conf.msl.titech.ac.jp/Lecture/>

# 統計力学・半導体

# 2020/4/24 課題

以下の4/23の課題について、解答が違っていた人は、理由も含めて解答せよ

1. 厚さ 100 nm の a-SiO<sub>2</sub> の単位面積当たり静電容量  $C_{\text{OX}}$  を求めよ。  
a-SiO<sub>2</sub> の 比誘電率は  $\epsilon_r = 11.9$  とする。
2. TransferCurve.xlsx のデータから、飽和移動度を求めよ  
電極幅  $W = 300 \mu\text{m}$ ,  $L = 50 \mu\text{m}$  とする。  
飽和移動度を求める際の  $V_g$ 、 $V_d$  は各自で選ぶこと。  
その値を選んだ理由も説明せよ。

PowerPoint 等 のプレゼンテーションファイルにして提出  
期限：今日の17:00までに  
できたところまで可

# FET特性の解析: 飽和領域

$$I_{DS} = \frac{W}{L} \mu C_{OX} \left[ (V_{GS} - V_{th}) V_{DS} - \frac{V_{DS}^2}{2} \right]$$

$$V_{DS} > V_p = V_{GS} - V_{th}$$

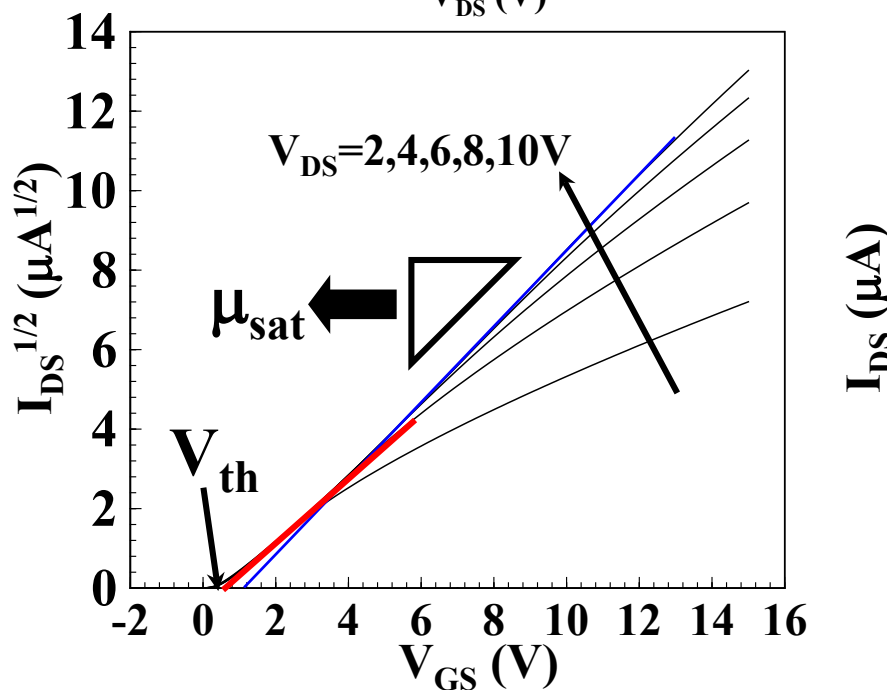
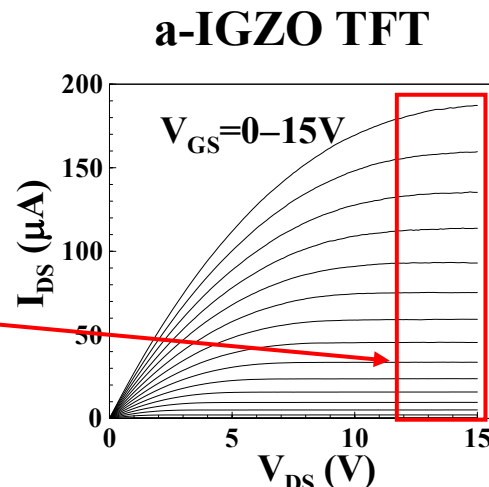
$$I_{DS} = \frac{W}{2L} \mu C_{OX} (V_{GS} - V_{th})^2$$

$$I_{DS}^{1/2} = \sqrt{\frac{W}{2L} \mu C_{OX} (V_{GS} - V_{th})}$$

$I_{DS}^{1/2}$  vs.  $V_{GS}$ をプロット

$V_{GS}$ 軸切片:  $V_{th}$   
傾き: 飽和移動度

Saturation mobility,  $\mu_{sat}$



# キャリア輸送に関する参考文献

- ・「薄膜トランジスタ」、薄膜材料デバイス研究会編、コロナ社、2010年第3刷
- ・「半導体評価技術」、河東田隆 編著、産業図書、1989年
- ・「半導体の電子物性工学」、太田英二、坂田亮 共著、培風館、2005年
- ・ Physics of Semiconductor Devices, S.M. Sze, 1981年
- ・「太陽電池の物理」、宇佐美德隆、石原照也、中嶋一雄監訳、丸善、2010年
- ・ Heavily doped semiconductors, Victor I. Fistul', Plenum Press, 1969
- ・「熱電変換工学－基礎と応用－」、坂田亮 編、REALIZE INC.
- ・「熱電材料の物質科学」、寺崎一郎、内田老鶴園、2017年

# Termoelectrics

## 熱起電力

# Thermoelectricity: Boltzmann equation

太田英二、坂田亮著、半導体の電子物性光学、培風館 (2005)

## Boltzmann-Bloch equation

$$\frac{df(\mathbf{k})}{dt} = -\frac{F}{\hbar} \frac{\partial f(\mathbf{k})}{\partial \mathbf{k}} - \mathbf{v}_k \frac{\partial f(\mathbf{k})}{\partial \mathbf{r}} - \frac{f(\mathbf{k}) - f_0(\mathbf{k})}{\tau(\mathbf{k})}$$

$$\mathbf{v}_k = \frac{d\varepsilon(\mathbf{k})}{d\mathbf{k}}: \text{group velocity} \Leftrightarrow \mathbf{v}_p = \frac{\varepsilon(\mathbf{k})}{\mathbf{k}}: \text{phase velocity}$$

**Steady-state**  $\frac{df(\mathbf{k})}{dt} = -\frac{F}{\hbar} \cdot \frac{\partial f(\mathbf{k})}{\partial \mathbf{k}} - \mathbf{v}_k \cdot \frac{\partial f(\mathbf{k})}{\partial \mathbf{r}} - \frac{f(\mathbf{k}) - f_0(\mathbf{k})}{\tau(\mathbf{k})} = 0$

**Non-uniform  $T$  and chemical potential  $\eta$ :** depend on position  $\mathbf{r}$

$$\begin{aligned} f(\mathbf{k}) - f_0(\mathbf{k}) &= -\tau(\mathbf{k}) \left( \frac{F}{\hbar} \cdot \frac{\partial f(\mathbf{k})}{\partial \mathbf{k}} + \mathbf{v}_k \cdot \frac{\partial f(\mathbf{k})}{\partial \mathbf{r}} \right) \\ &= -\tau(\mathbf{k}) \left( eE \cdot \frac{\partial \varepsilon(\mathbf{k})}{\partial \mathbf{k}} \frac{\partial f(\varepsilon)}{\partial \varepsilon} + \mathbf{v}_k \cdot T \nabla \frac{\varepsilon - \eta}{T} \frac{\partial f(\varepsilon)}{\partial \varepsilon} \right) \\ &= -\tau(\mathbf{k}) \frac{\partial f(\varepsilon)}{\partial \varepsilon} \mathbf{v}_k \cdot \left( eE + T \nabla \frac{\varepsilon - \eta}{T} \right) \end{aligned}$$

# Thermoelectricity: Boltzmann equation

太田英二、坂田亮著、半導体の電子物性光学、培風館 (2005)

$$J = en \frac{\int (\nu_k \otimes \nu_k) \tau(k) \left( -\frac{\partial f(\varepsilon)}{\partial \varepsilon} \right) \left[ eE + T \nabla \frac{\varepsilon - \eta}{T} \right] dk}{\int f_0(k) dk}$$

$(\nu_k \otimes \nu_k) = (\nu_{k,i} \nu_{k,j})$ : Direct product of vectors

$$\nabla \frac{\varepsilon - \eta}{T} = -\frac{\varepsilon - \eta}{T} \nabla T - \nabla \eta$$

**Chemical potential  $\eta$  is a function of carrier density  $n(r)$**

$$\begin{aligned} J &= \sigma \cdot E + en \frac{\langle \tau \rangle}{m_e^*} \left[ \frac{1}{T} \left( \frac{\langle \tau \varepsilon \rangle}{\langle \tau \rangle} - \eta + T \frac{\partial \eta}{\partial T} \right) \nabla T + \frac{\partial \eta}{\partial n} \nabla n \right] \\ &= \sigma \cdot E + \sigma \left[ S \nabla T + \frac{1}{e} \frac{\partial \eta}{\partial n} \nabla n \right] \end{aligned}$$

$$S = \frac{1}{eT} \left[ \left( \frac{\langle \tau \varepsilon \rangle}{\langle \tau \rangle} - \eta + T \frac{\partial \eta}{\partial n} \right) \right]$$

# 熱起電力(Seebeck係数)

$$S = \frac{1}{eT} \left[ \left( \frac{\langle \tau \varepsilon \rangle}{\langle \tau \rangle} - \eta + T \frac{\partial \eta}{\partial n} \right) \right]$$

$$S = -\frac{k}{e} \frac{\int \left( -\frac{\partial f}{\partial E} \right) D(E) v^2 \tau \left[ \frac{E-E_F}{kT} \right] dE}{\int \left( -\frac{\partial f}{\partial E} \right) D(E) v^2 \tau dE} + \frac{1}{e} \frac{\partial E_F}{\partial T} \quad \text{Seebeck係数}$$

$$\tau = (m_e^*/2)^{1/2} l_0(T) E^{r-1/2}$$

**縮退半導体:** バンドが自由電子的な単一バンドで、 $\tau = \tau_0 + ((E - E_F)/E_F) \tau_1$  の場合

$$S \sim -\frac{k}{e} \frac{\pi^2}{3} \left( \frac{3}{2} + \frac{\tau_1}{\tau_0} \right) \frac{kT}{E_F}$$

$$\tau = (m_e^*/2)^{1/2} l_0(T) E^{r-1/2}$$

**非縮退半導体:**

$$S \sim -\frac{k}{e} \left( \frac{E_C - E_F}{kT} + r + 2 \right) = \boxed{-} \frac{k}{e} \left( \ln \frac{N_C}{N_e} + r + 2 \right)$$

電子

$$S \sim +\frac{k}{e} \left( \frac{E_F - E_V}{kT} + r + 2 \right) = \boxed{+} \frac{k}{e} \left( \ln \frac{N_V}{N_h} + r + 2 \right)$$

正孔

**ホッピング伝導 (small polaron): エントロピー輸送**

$$S = \frac{k}{e} \ln \left( \frac{n}{N-n} \right)$$

# 熱起電力(Seebeck係数)

非縮退n型半導体:

$$S \sim -\frac{k}{e} \left( \frac{E_C - E_F}{kT} + r + 2 \right) = -\frac{k}{e} \left( \ln \frac{N_C}{N_e} + r + 2 \right)$$

$$n_e = N_C \exp(-\beta(E_C - E_F))$$

$$N_C = 2 \left( \frac{2\pi m_e^* k_B T}{h^2} \right)^{3/2}$$

Jonkerプロット

$$S = -\frac{k}{e} [\ln N_C + r + 2 - \ln N_e] = -\frac{k}{e} [\ln N_C + r + 2 + \ln e\mu - \ln \sigma]$$

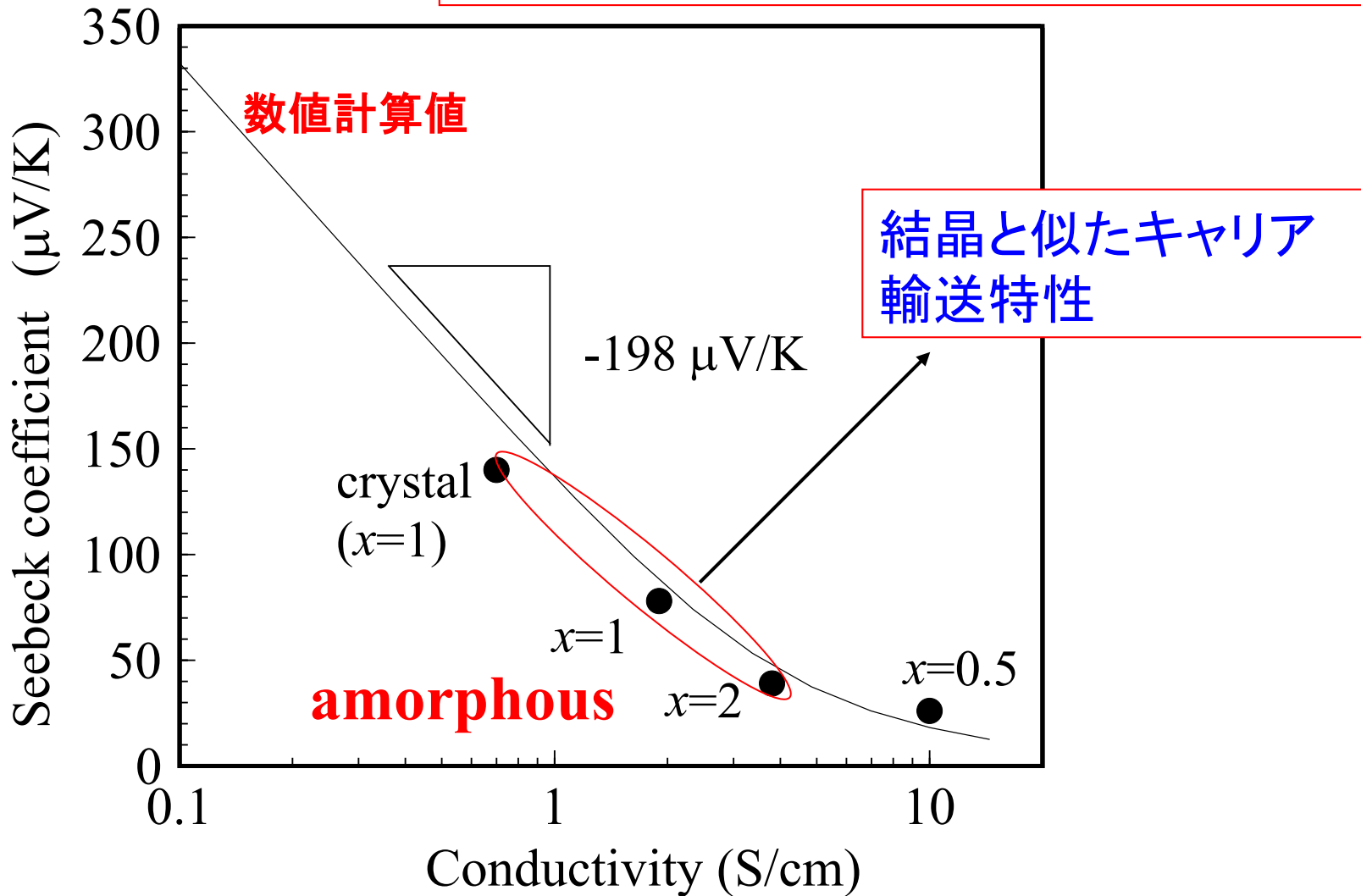
Jonkerプロットから有効質量を求める

$$S = -\frac{k}{e} \left[ \frac{3}{2} \ln m_e^* + \ln 2 \left( \frac{2\pi m_e^* k_B T}{h^2} \right)^{3/2} + r + 2 - \ln N_e \right]$$

# Jonker plot: ex. For p-type $x\text{ZnO}\cdot\text{Rh}_2\text{O}_3$

$$n = \sigma / \mu / e \rightarrow$$

$$S = -\frac{k}{e}(\log \sigma - \log \mu_h + A) \quad \frac{k}{e} = 198 \mu\text{V/K}$$



# Mott's formula of Seebeck coefficient

寺崎一郎著、熱電材料の物質科学、内田老鶴園 (2017)

$$\alpha_{xx} = \frac{1}{eT} \frac{\int D(E) \left( -\frac{\partial f_0}{\partial E} \right) v_x^2 \tau(E) (E - E_F) dE}{\int D(E) \left( -\frac{\partial f_0}{\partial E} \right) v_x^2 dE}$$

$\sigma(E) = D(E)v_x^2\tau \sim \sigma(E_F) + \sigma'(E_F)(E - E_F) + \dots$ :  
conductivity-like function (電気伝導率的関数)

分子  $\int D(E)v_x^2\tau(E) \left( -\frac{\partial f_0}{\partial E} \right) (E - E_F) dE$   
 $= \int \left\{ \sigma(E_F)(E - E_F) + \sigma'(E_F)(E - E_F)^2 \right\} \left( -\frac{\partial f_0}{\partial E} \right) dE = \frac{\pi^2}{3} (kT)^2 \sigma'(E_F)$

分母  $\int D(E) \left( -\frac{\partial f_0}{\partial E} \right) v_x^2 dE = \int \sigma(E) \left( -\frac{\partial f_0}{\partial E} \right) dE = \sigma(E_F)$

$$\alpha_{xx} = \frac{\pi^2 k}{3 e} (kT) \frac{d\sigma(E)}{dE} \Big|_{E=E_F} / \sigma(E_F) = \frac{\pi^2 k}{3 e} (kT) \frac{d \ln D(E)}{dE} \Big|_{E=E_F} \quad \text{Mottの公式}$$

自由電子モデル  $\alpha_{xx} = \frac{\pi^2 k}{3 e} \frac{kT}{E_F}$

# 局在電子のSeebeck係数符号反転

局在状態でのVRH伝導の場合

(拡散係数をエネルギーに対して一定とする)。

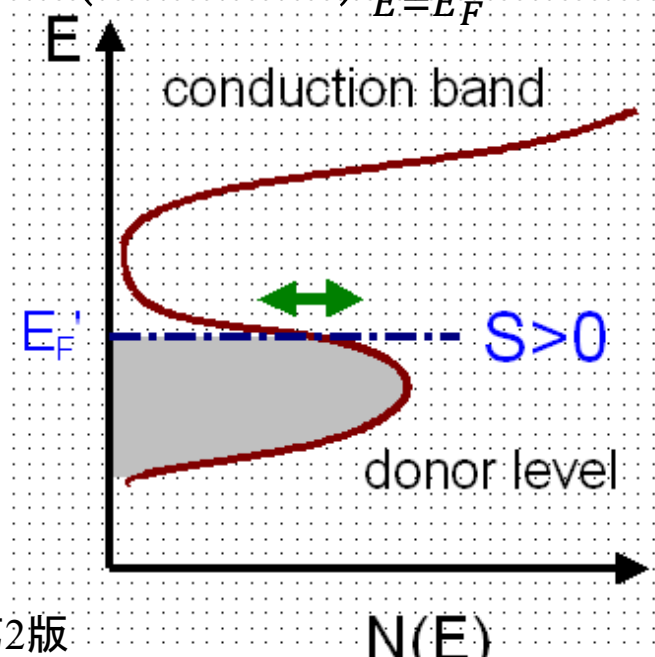
$$\text{Mottの式: } S = \frac{\pi^2}{3} \frac{k_B^2 T}{e} \left( \frac{d \ln \sigma(E)}{dE} \right)_{E=E_F}$$

$$\sigma(E) = D(E) v_x^2 \tau \sim \sigma(E_F) + \sigma'(E_F)(E - E_F) + \dots :$$

$$S = \frac{1}{2} \frac{k_B}{e} \frac{W^2}{k_B T} \left( \frac{d \ln D(E)}{dE} \right)_{E=E_F} = \frac{1}{2} \frac{k_B^2}{e} (T_0 T)^{1/2} \left( \frac{d \ln D(E)}{dE} \right)_{E=E_F}$$

$$W = k_B (T_0 T^3)^{1/4}$$

ホッピングの活性化エネルギー  
に等しいと仮定する



G.H. Jonker, Philips Res. Repts 23 (1968) 131

I.P. Zvyagin, Phys. Stat. Sol. B58 (1973) 443

V.V. Kosarev, Sov. Phys. – Semicond. 8 (1975) 897

H. Overhof, Pys. Stat. Sol. B67 (1975) 709

P. Butcher, in Proc. 6<sup>th</sup> ICALS (1976) p.89

「非晶質材料の電気伝導」、ネビルモット著、現代工学社、2003年第2版

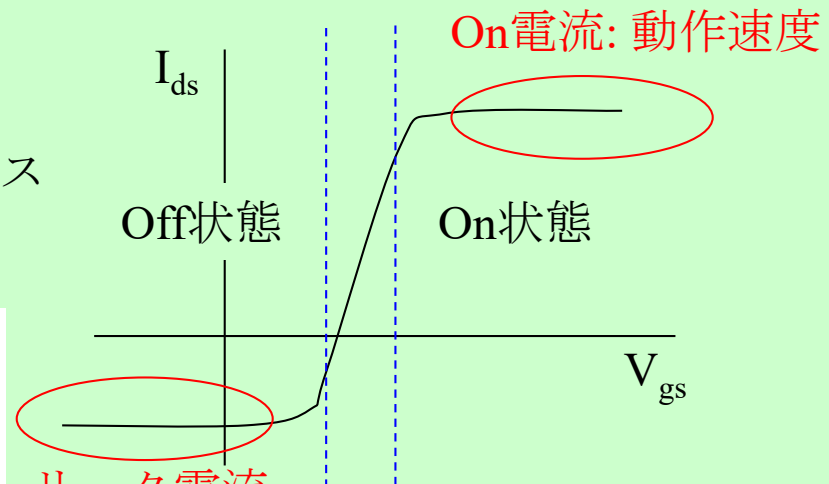
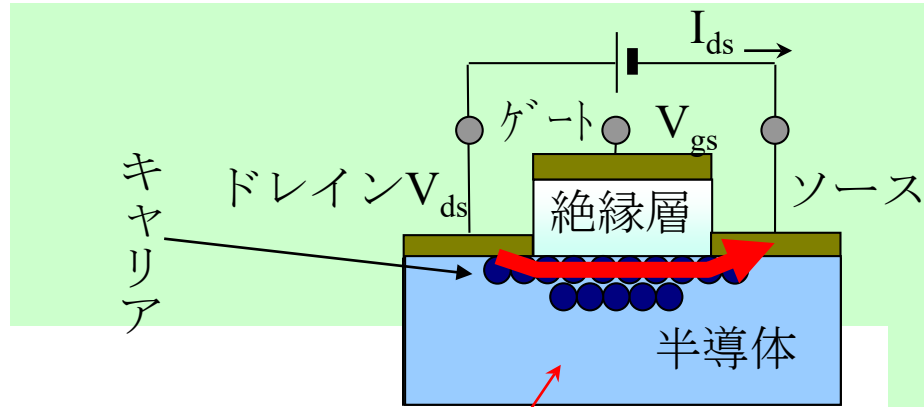
# **Field-effect mobility**

## **電界効果移動度**

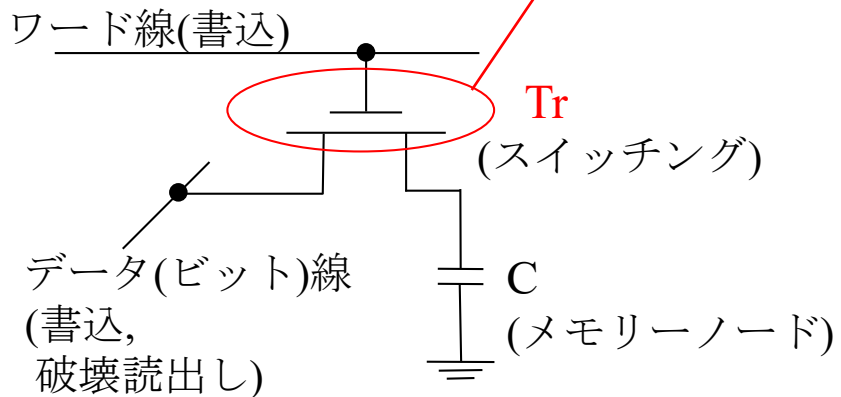
# 電界効果トランジスタ(FET)の基本動作

## トランジスタの基本機能

1. 増幅機能 ゲート電圧に電流が比例する領域を利用
2. スイッチ機能 ゲート電圧による大きな電流の変調を利用

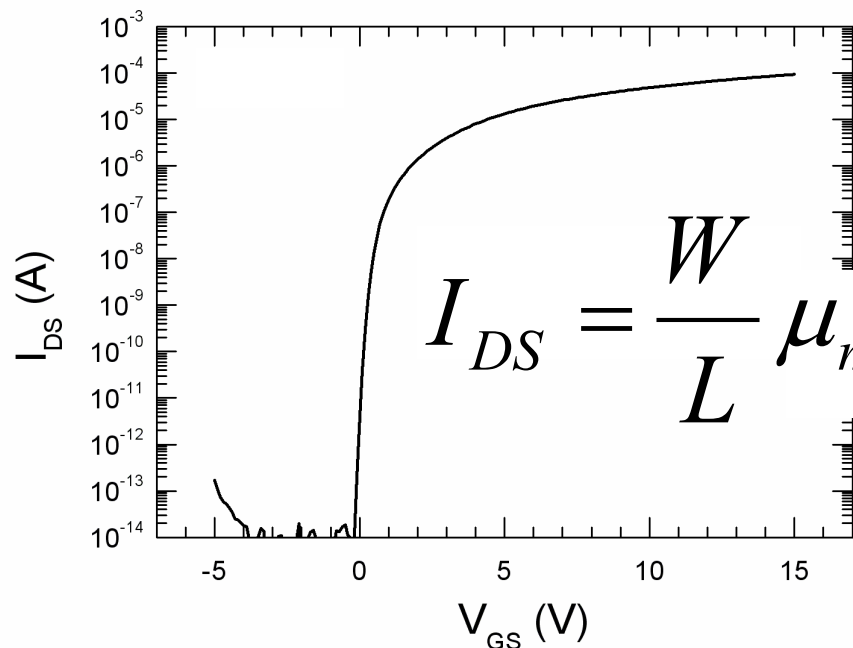
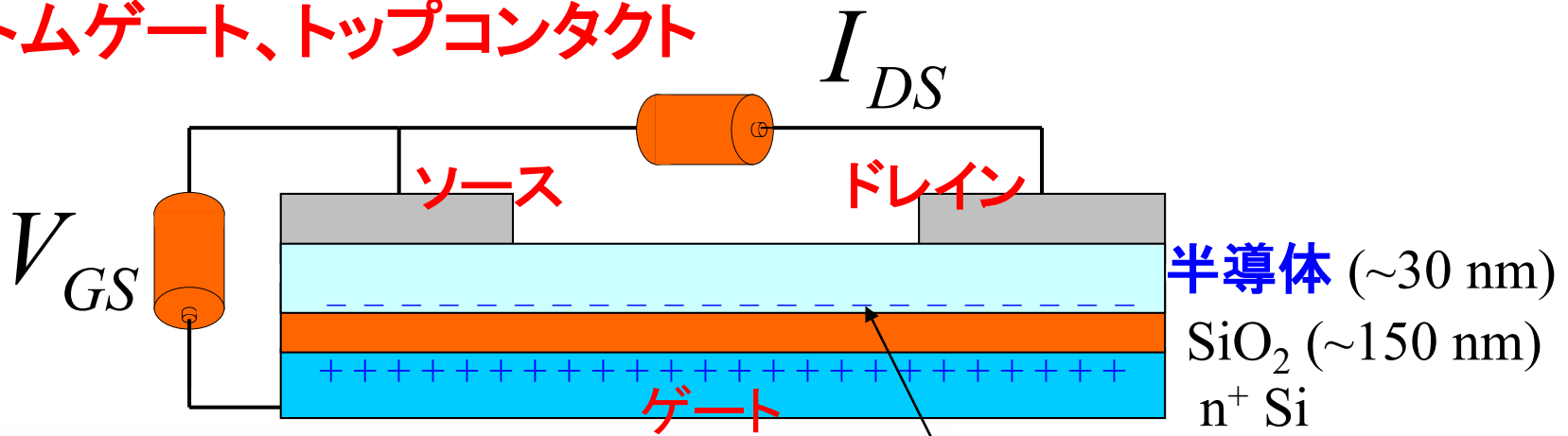


## 1Tr1C DRAM



# TFTの構造と動作原理

ボトムゲート、トップコンタクト



$$Q_{ind} \approx C_g (V_{GS} - V_{th})$$

理想的な場合

# MOSFETの電流-電圧特性(第0近似)

- ゲート絶縁体にかかる電圧  $V_{OX}$  が一定とみなせる場合

$$V_{DS} \ll V_{GS}$$

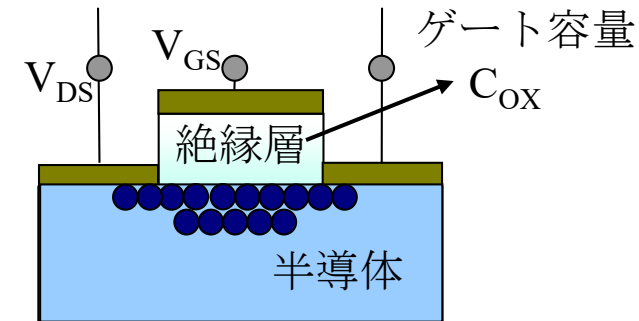
ゲート絶縁体にたまる電荷

$$Q_s = V_{OX} C_{OX} \sim [V_{GS} - V_{th}] C_{OX}$$

電流  $I_{DS}$

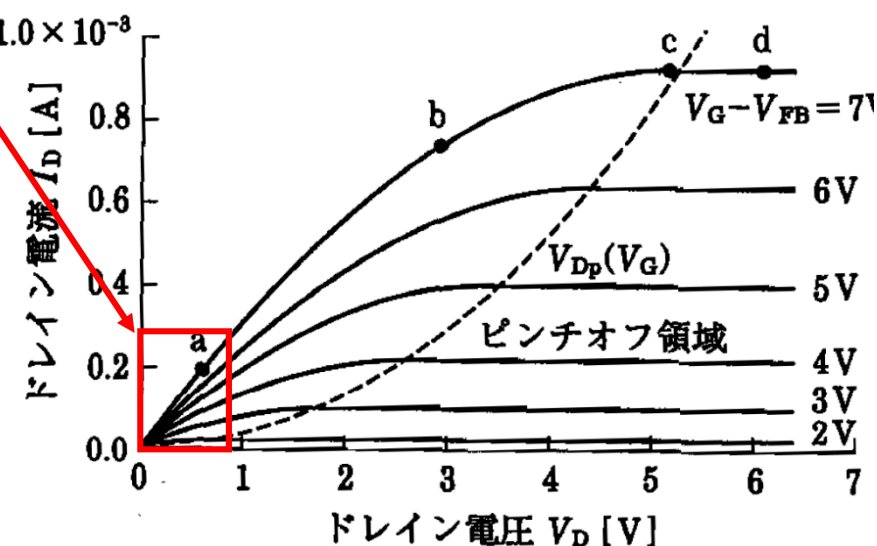
$$I_{DS} = \frac{W}{L} \mu Q_s V_{DS} \sim \frac{W}{L} \mu C_{OX} [V_{GS} - V_{th}] V_{DS}$$

ピンチオフが現れないが、  
低  $V_{DS}$  では良い近似



- Gradual Channel Approximation

$$I_{DS} = \frac{W}{L} \mu C_{OX} \left[ (V_{GS} - V_{th}) - \frac{V_{DS}}{2} \right] V_{DS}$$



# FET特性の解析: 飽和領域

$$I_{DS} = \frac{W}{L} \mu C_{OX} \left[ (V_{GS} - V_{th}) V_{DS} - \frac{V_{DS}^2}{2} \right]$$

$$V_{DS} > V_p = V_{GS} - V_{th}$$

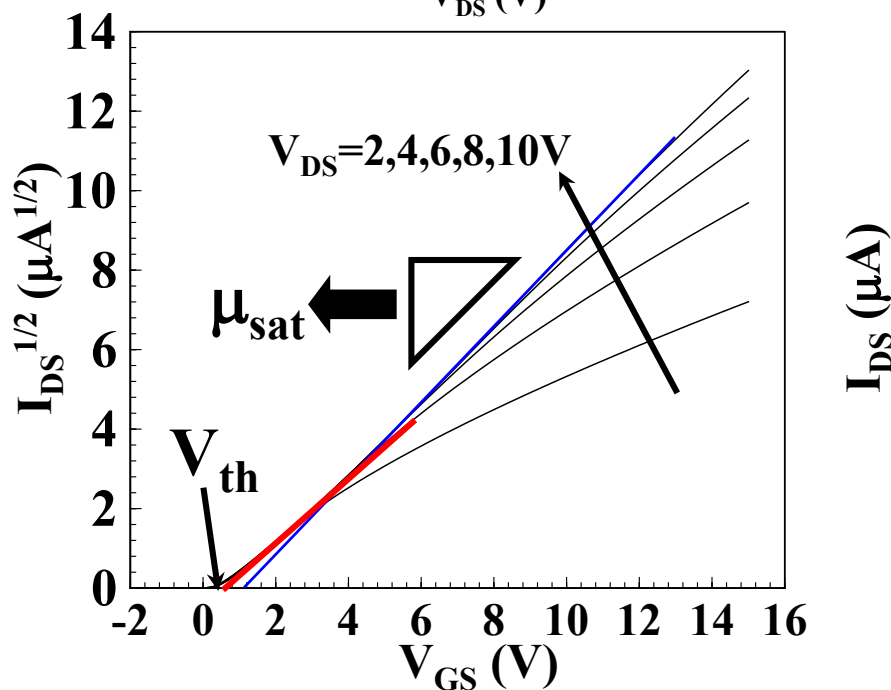
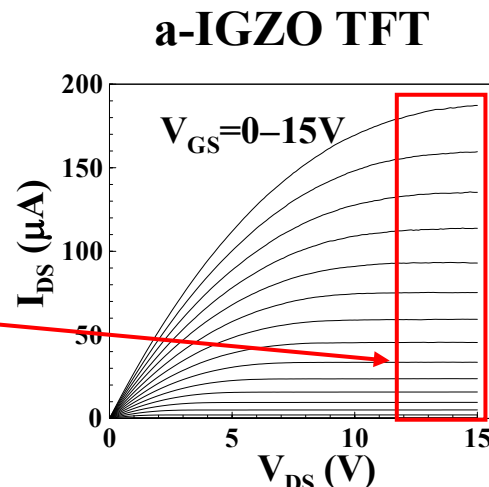
$$I_{DS} = \frac{W}{2L} \mu C_{OX} (V_{GS} - V_{th})^2$$

$$I_{DS}^{1/2} = \sqrt{\frac{W}{2L} \mu C_{OX} (V_{GS} - V_{th})}$$

$I_{DS}^{1/2}$  vs.  $V_{GS}$ をプロット

$V_{GS}$ 軸切片:  $V_{th}$   
傾き: 飽和移動度

Saturation mobility,  $\mu_{sat}$

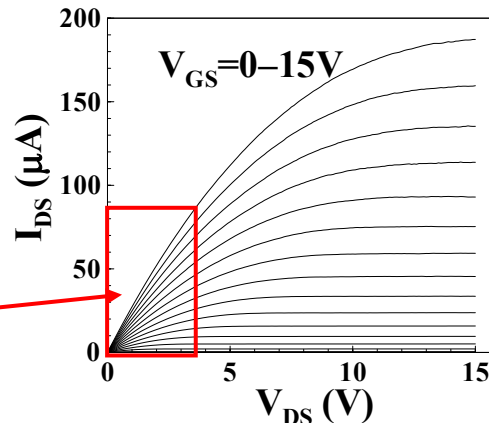


# FET特性の解析: 線形領域

$$I_{DS} = \frac{W}{L} \mu C_{OX} \left[ (V_{GS} - V_{th}) V_{DS} - \frac{V_{DS}^2}{2} \right]$$

$V_{DS} \ll V_p (V_{GS})$  (e.g.,  $\ll 0.1$  V)

$$I_{DS} = \frac{W}{L} \mu C_{OX} V_{DS} (V_{GS} - V_{th})$$



I<sub>DS</sub>はV<sub>DS</sub>に比例:  
I<sub>DS</sub> vs. V<sub>GS</sub>をプロット  
V<sub>GS</sub>軸切片: V<sub>th</sub>  
傾き: 線形領域移動度

有効移動度 (effective mobility):  $\mu_{eff}$

$$\mu_{eff} = g_{DS} \frac{L}{WC_{OX}(V_{GS} - V_{th})}$$

$$g_{DS} = \frac{dI_{DS}}{dV_{DS}} \quad \text{Drain conductance}$$

電界効果移動度 (field-effect mobility):  $\mu_{FE}$

$$\mu_{FE} = g_m \frac{L}{WC_{OX}V_{DS}}$$

$$g_m = \frac{dI_{DS}}{dV_{GS}} \quad \text{Transconductance}$$

# **Space charge limited current (SCLC)**

## **空間電荷制限電流**

# 大電流条件での熱電子放出電流: 空間電荷制限電流(SCLC)(電子放出)

真空に放出された電荷が形成する静電ポテンシャルが  
無視できない場合

「荷電粒子ビーム工学」、コロナ社

電子の速度  $v(x)$ 、真空中の静電ポテンシャル  $V(x)$  は  $x$  の関数

$$\frac{1}{2}mv(x)^2 = eV \quad \text{電流連続の条件 } j(x) = en(x)v(x) = j$$

Poissonの方程式  $\frac{d^2V(x)}{dx^2} = \frac{en_e(x)}{\epsilon_0} = \frac{J}{\epsilon_0} \left( \frac{m_e}{2eV} \right)^{1/2}$

$$\frac{dV}{dx} \text{ を両辺にかけて積分 } \left( \frac{dV(x)}{dx} \right)^{1/2} = \frac{4J}{\epsilon_0} \left( \frac{m_e}{2e} \right)^{1/2} V^{1/2} + C$$

最大の電流が流れる条件  $E(0) = 0$  として解く

$$V = \left( \frac{3}{4} \right)^{4/3} \left( \frac{4J}{\epsilon_0} \right)^{2/3} \left( \frac{m_e}{2e} \right)^{1/3} x^{4/3}$$

$$J = \frac{4\epsilon_0}{9} \left( \frac{2e}{m_e} \right)^{1/2} \frac{V^{3/2}}{d^2} \quad \begin{array}{l} \text{Child-Langmuirの式} \\ \text{Ohmの法則は成立しない} \end{array}$$

# 空間電荷制限電流(SCLC)

外部から注入された電荷が物質内の  
自由電荷密度に比べて無視できない場合

$$v(x) = \mu \frac{dV}{dx} \quad J(x) = e n_e(x) v(x) = J$$

$$\frac{d^2 V(x)}{dx^2} = \frac{e n_e(x)}{\epsilon_r} = \frac{J}{\epsilon_r \mu} \left( \frac{dV}{dx} \right)^{-1}$$

$$J = \frac{9}{8} \epsilon \mu \frac{V^2}{d^3}$$

**SCLC with trap state:**  $h(E) = \frac{H_t}{E_t} \exp\left(-\frac{E}{E_t}\right)$

$$J = e^{1-l} \mu_p N_v \left( \frac{2l+1}{l+1} \right)^{l+1} \left( \frac{l}{l+1} \frac{\epsilon}{H_t} \right)^l \frac{V^{l+1}}{d^{2l+1}}$$

$$l = T_c / T = E_t / k / T$$

V. Kumar, S.C. Jain, A.K. Kapoor, J. Poortmans, R. Mertens, *Trap density in conducting organic semiconductors determined from temperature dependence of J-V characteristics*, JAP 94 (2003) 1283.

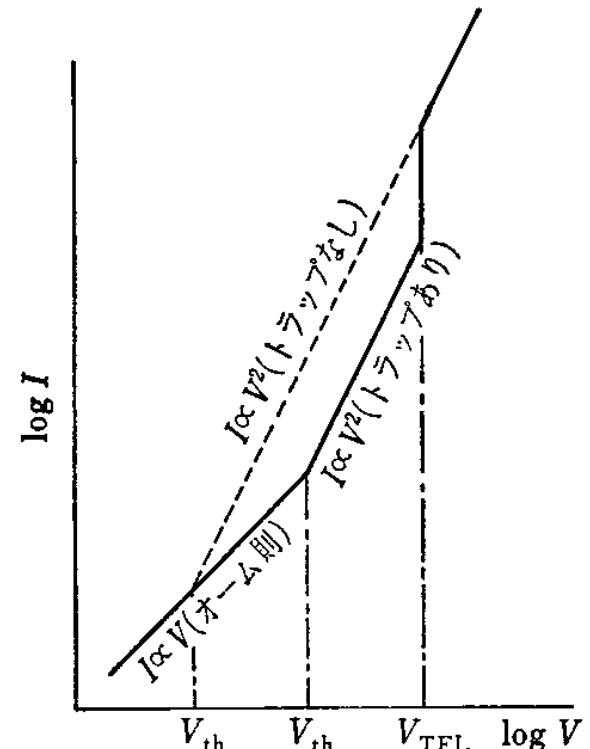


図 3.18 空間電荷制限電流

# 空間電荷制限電流 vs Ohmic電流

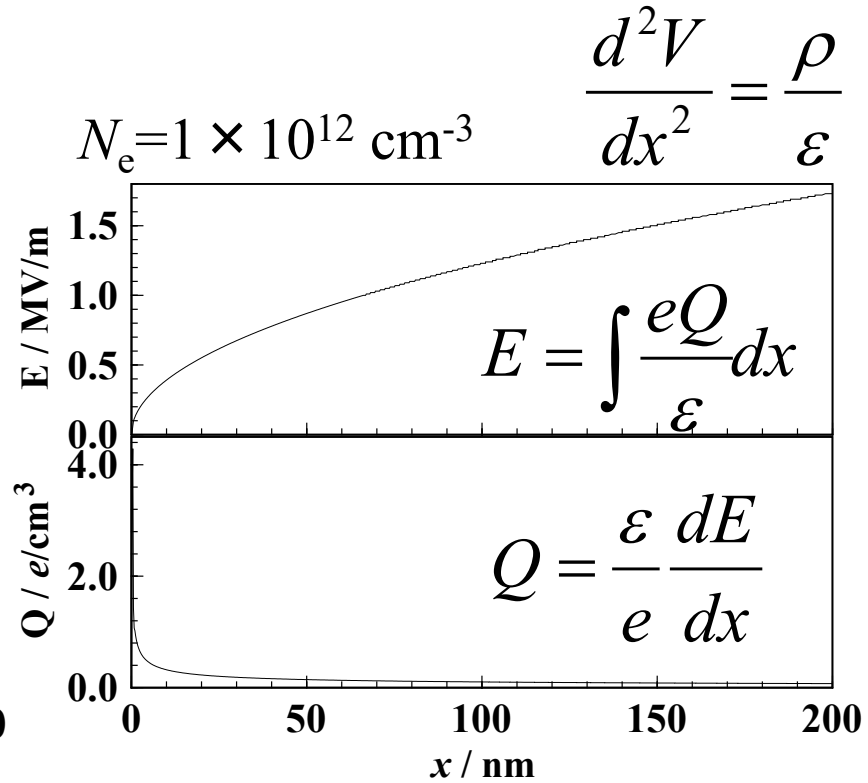
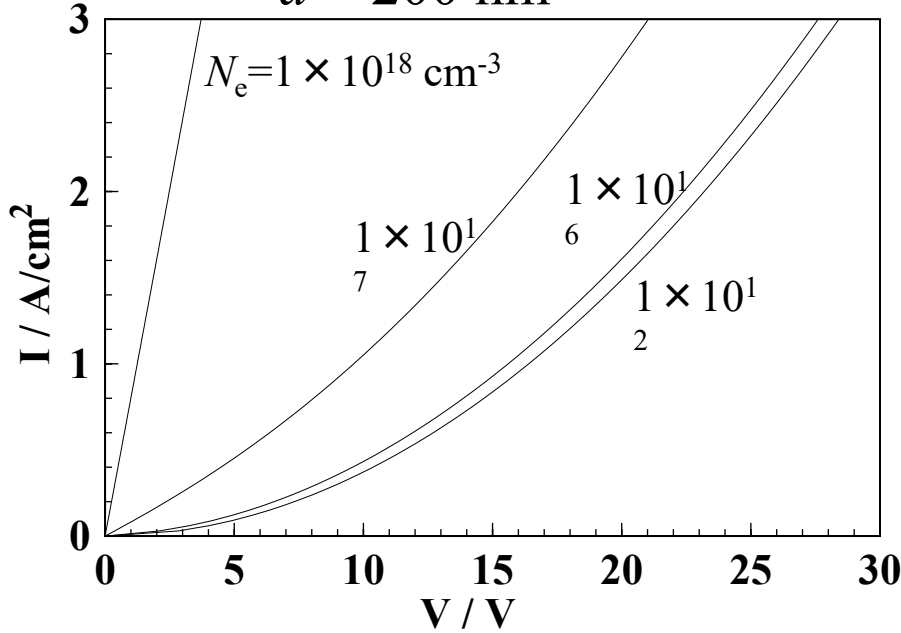
オーム電流:  $J = \sigma E$

空間電荷制限電流:  $J = \frac{9}{8} \varepsilon \mu \frac{E^2}{d}$

$$\varepsilon_r = 3.0 \varepsilon_0$$

$$\mu_e = 1 \times 10^{-4} \text{ cm}^2/\text{Vs}$$

$$d = 200 \text{ nm}$$

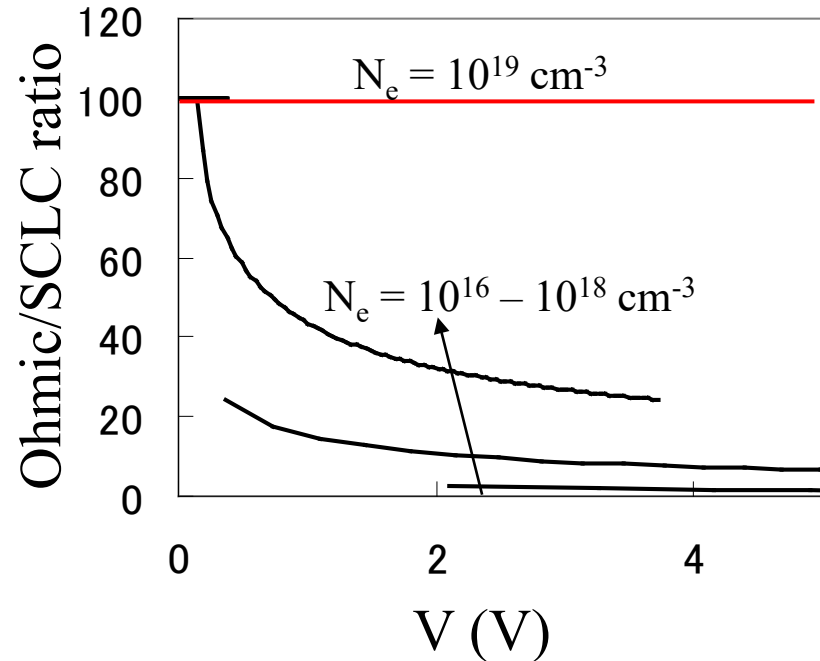
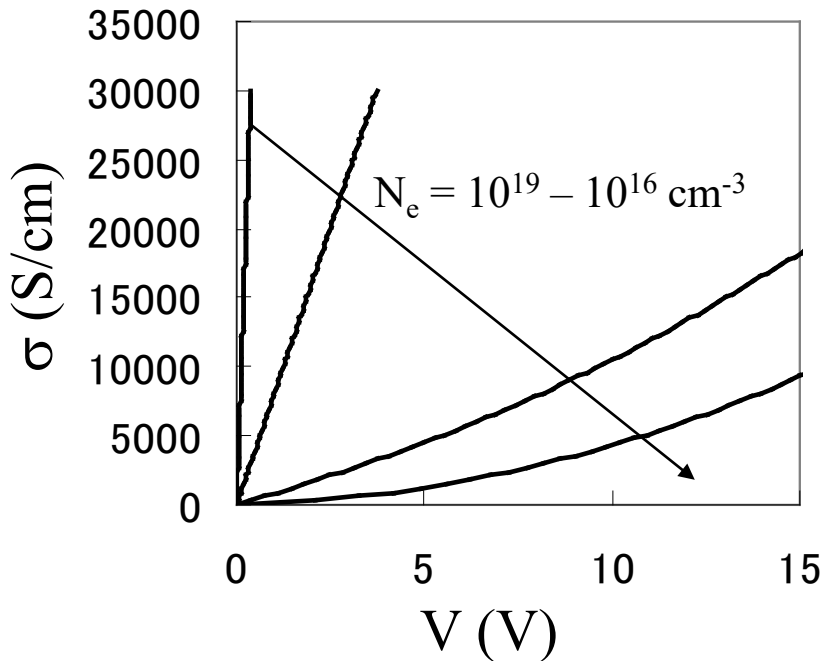


# 空間電荷制限電流(SCLC) – オーム

$d = 200 \text{ nm}$

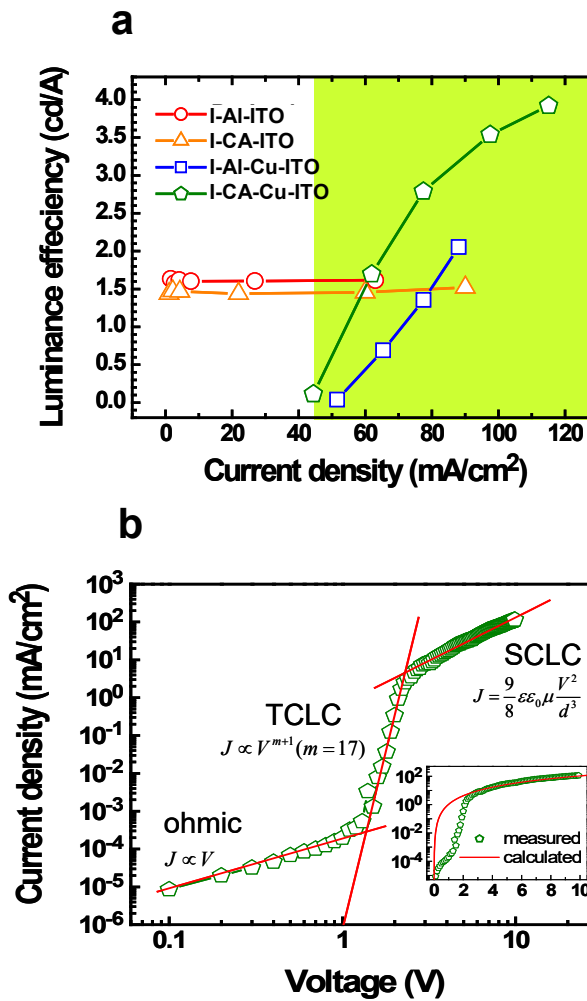
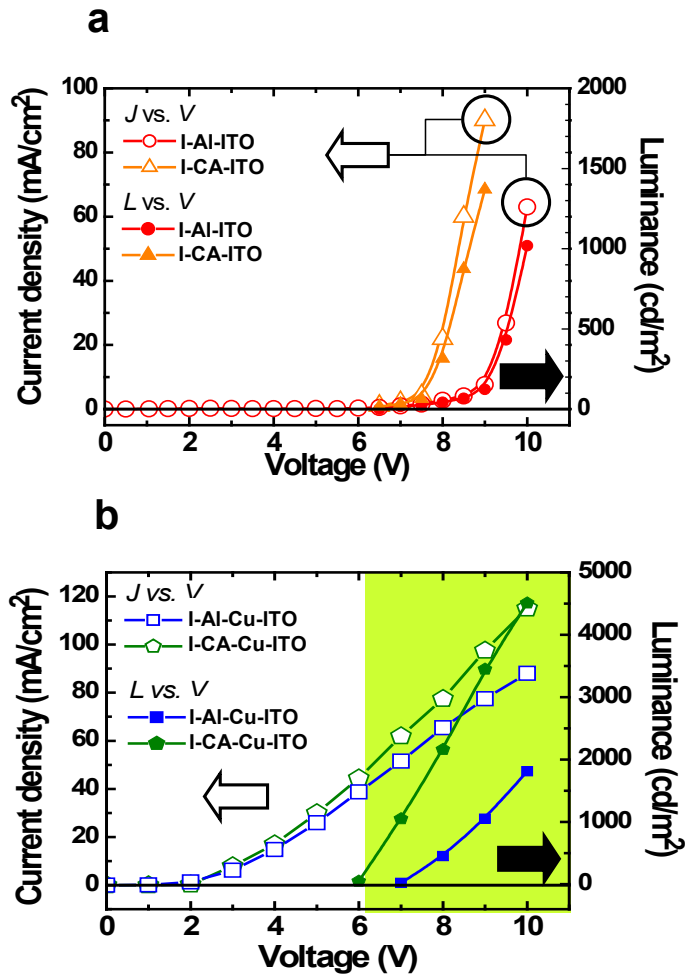
$\epsilon_r = 3\epsilon_0$

$\mu = 10^{-4} \text{ cm}^2/\text{Vs}$



# C<sub>12</sub>A<sub>7</sub>e<sup>-</sup>/Cu<sub>x</sub>Se OLEDの例

Yanagi et al., J. Phys. Chem. C 113 (2009) 18379



# **Electronic conduction in polycrystals**

**多結晶半導体の伝導**

# 移動度のあいまいさ

$$\sigma = en\mu$$

任意性なく測定できるのは  $\sigma$  だけ

ドリフト移動度:  $\mu_d = \mu_{drift}/E$  物理的な定義

伝導度移動度:  $\sigma = en\mu$

$\mu$  は  $n$  の選択によって変わる

$n$ : Hall効果  $\Rightarrow$  Hall移動度

光吸收  $\Rightarrow$  光学移動度

電界誘起  $\Rightarrow$  電界効果移動度

非均質材料の場合は？

$$N_{free} = N_t \exp(-E_t/kT)$$

$$\mu = \mu_{ext}$$

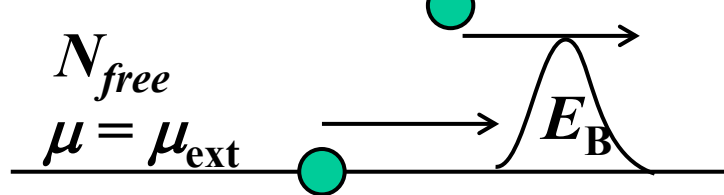


$$\mu = 0$$

$$N_t, E_t$$

$$N_{free}$$

$$\mu = \mu_{ext}$$



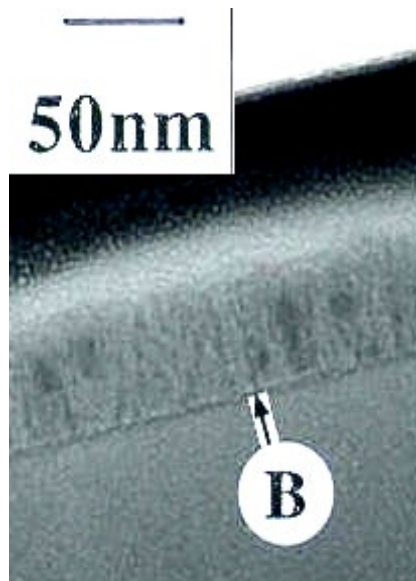
$$N_B = N_{free} \exp(-E_B/kT)$$

$$\mu = \sigma / N_t \text{ or } \sigma / N_{free}$$

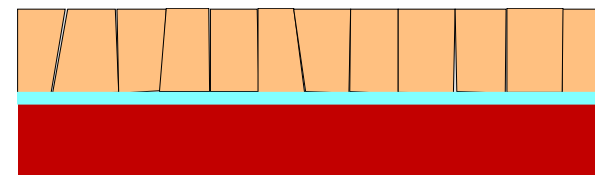
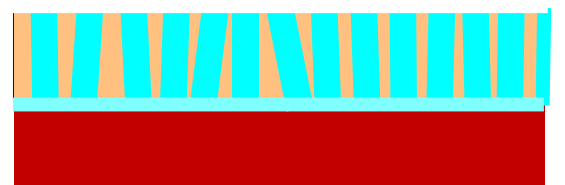
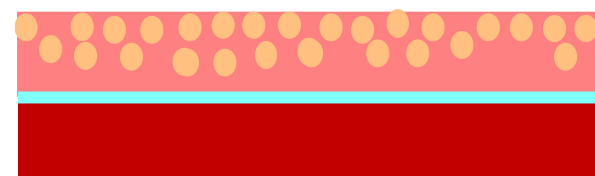
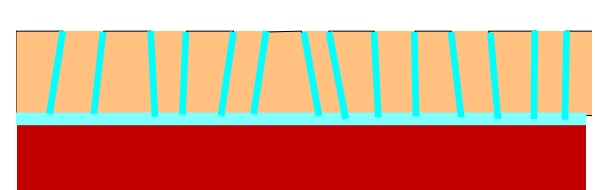
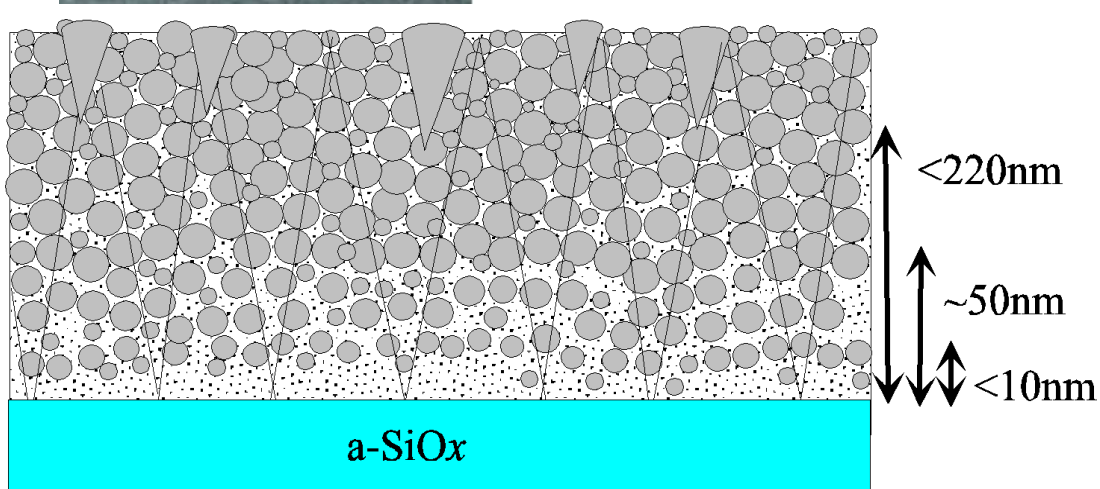
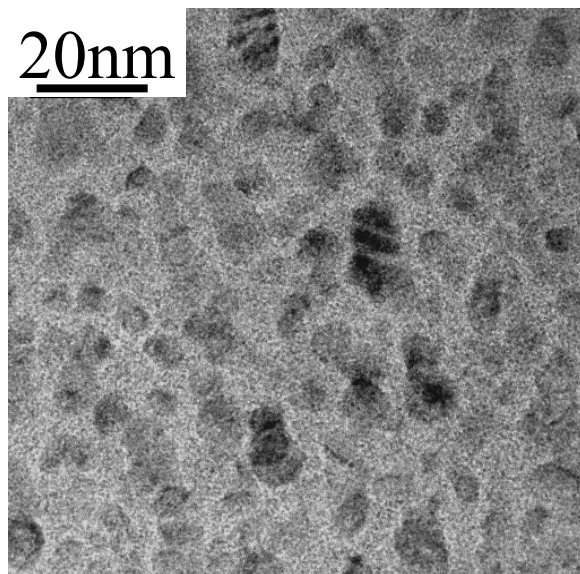
$$\mu = \sigma / N_{free} \text{ or } \sigma / N_B$$

# 多結晶シリコンの微構造

Cross-section



Plan view



# 多結晶半導体における粒界の役割

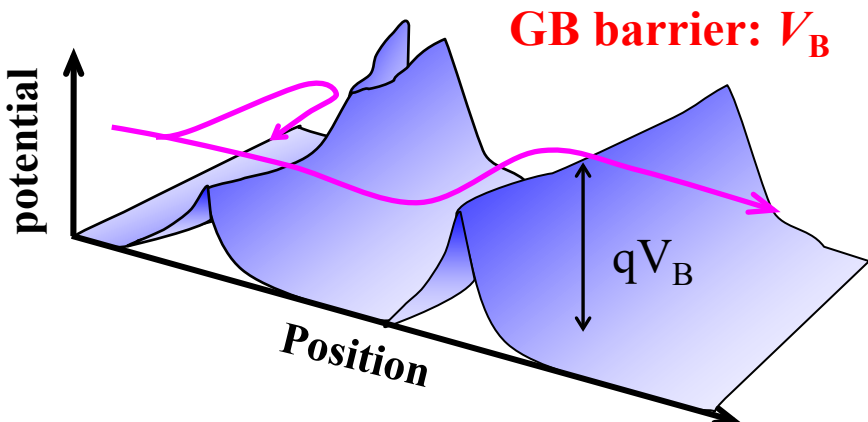
- ・アモルファス層 (amorphous tissue): 局所移動度が小さい  
PECVD低温 微結晶シリコン  $\mu$ c-Si:H  
低移動度  $< 10 \text{ cm}^2/\text{Vs}$   
結晶化率と移動度に正の相関
- ・多結晶粒界層
  - ・局所移動度が小さい: ひずんだ結合
  - ・散乱中心
  - ・**ボテンシャル障壁**  
Setoモデル  
粒界欠陥濃度、ドープ濃度により移動度が大きく変化
  - ・粒界構造:  
X線回折rocking curve測定、EBSD (電子後方散乱回折)

## 結晶粒内の特性

光学移動度(自由キャリア吸収)と Hall移動度の比較

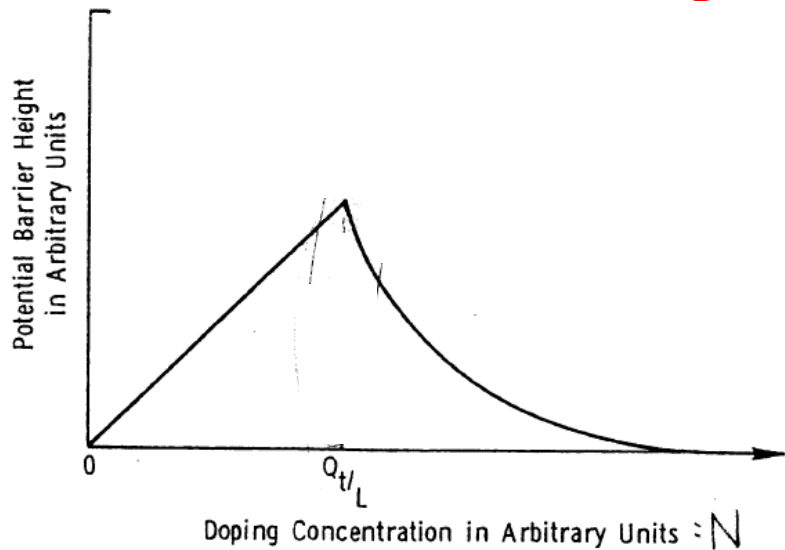
- ・高移動度 ELA poly-Siでは比較的小さい影響
- ・低移動度 PECVD  $\mu$ c-Si:Hでは重要

# Carrier transport in poly-semiconductors

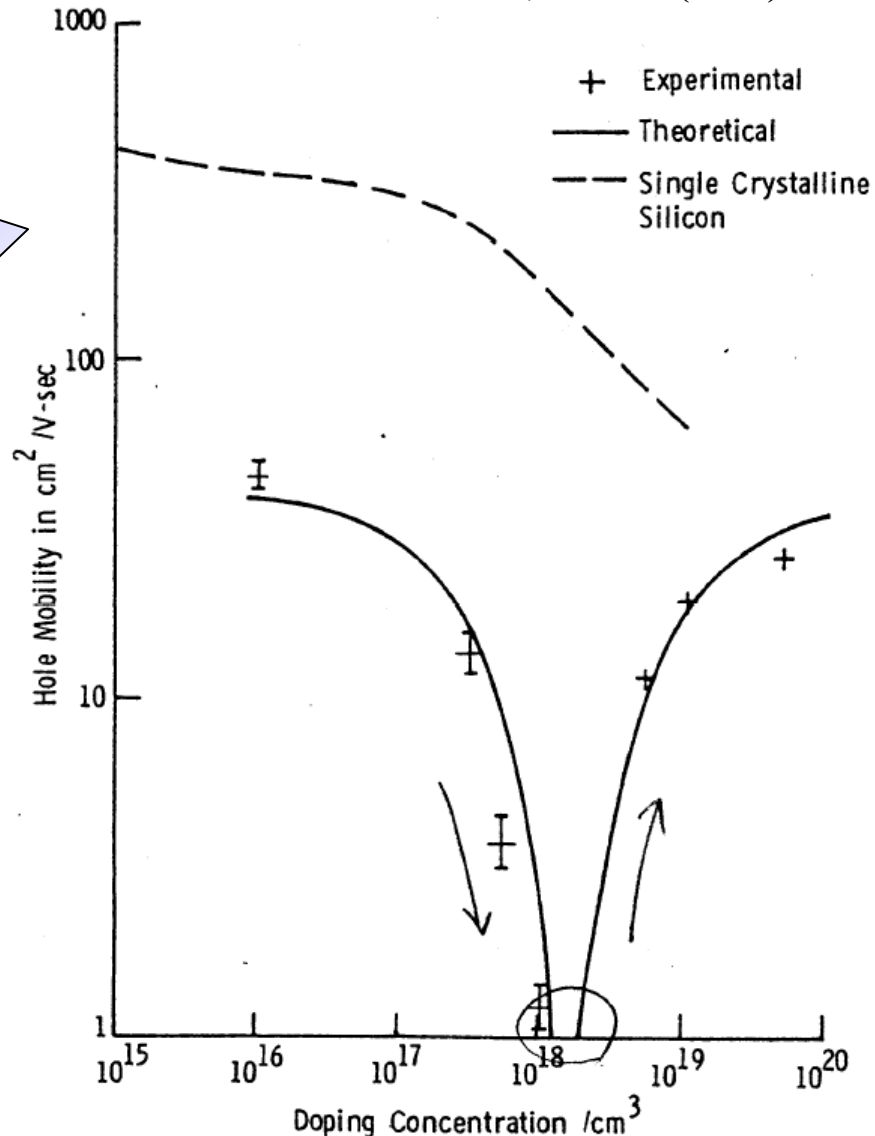


$$I(V) = 2qn_P \left( \frac{kT}{2\pi m^*} \right)^{1/2} \exp\left(-\frac{qV_B}{k_B T}\right) \sinh\left(\frac{qV}{2nk_B T}\right)$$

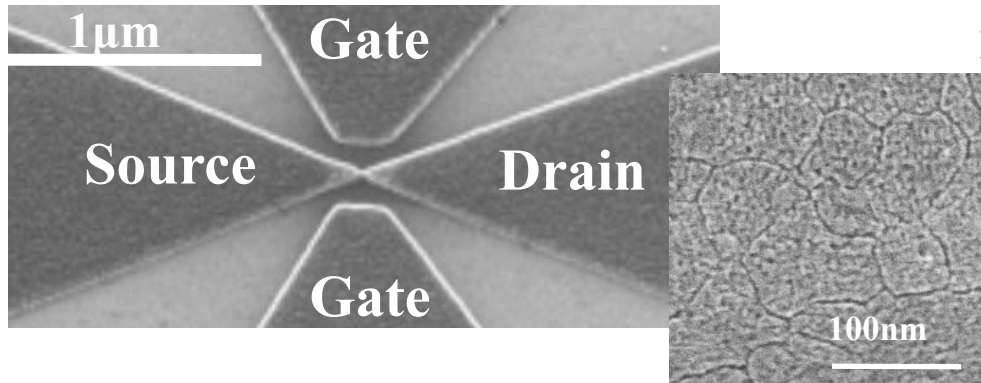
$$\mu = Lq(1/2\pi m^* kT)^{1/2} \exp(-V_B/kT)$$



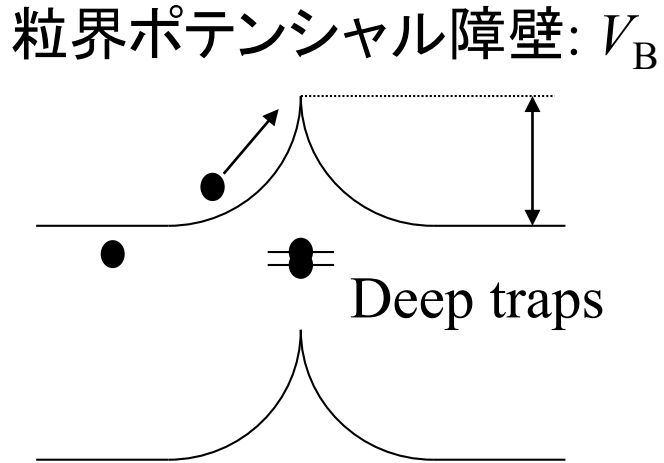
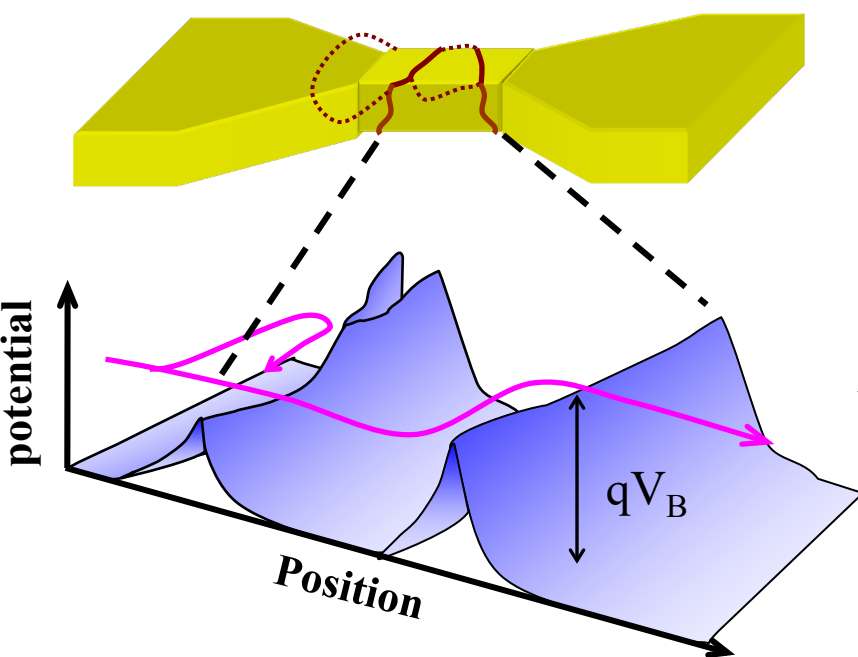
John Y.W. Seto, JAP 46 (1975) 5247



# ナノワイヤデバイスによる少数粒界の伝導



Furuta et al., Jpn. J. Appl. Phys. **40**, L615 (2001)



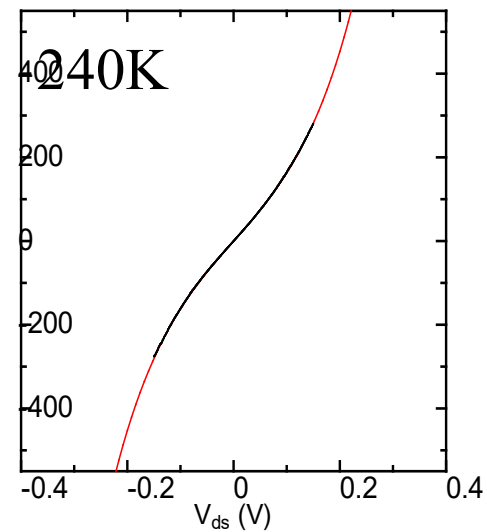
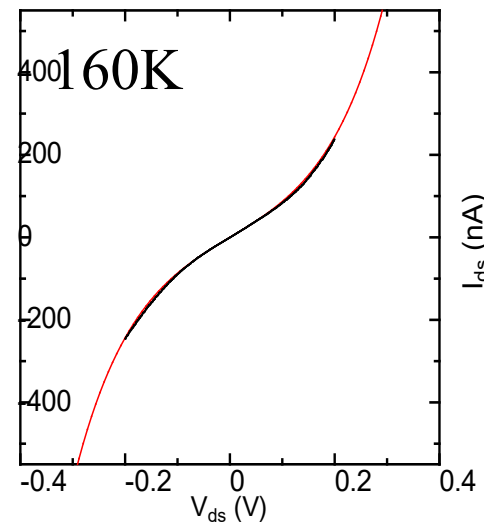
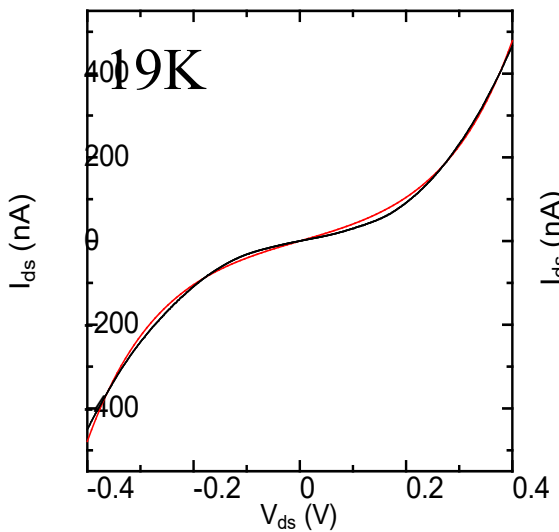
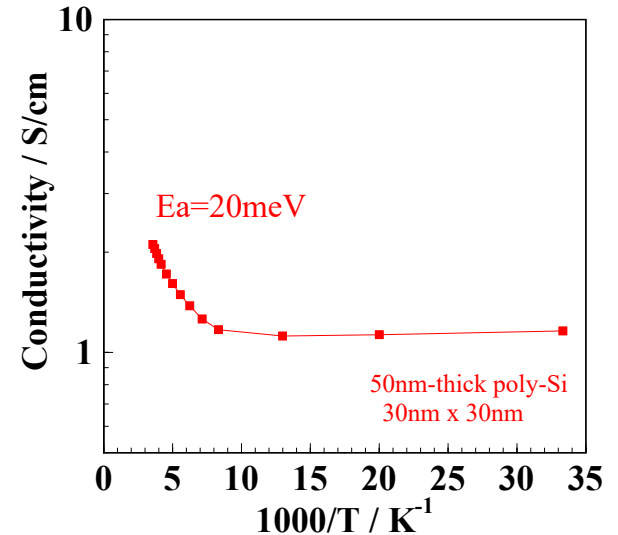
$$I(V) = 2q n_p \left( \frac{kT}{2\pi m^*} \right)^{1/2} \exp\left(-\frac{qV_B}{k_B T}\right) \sinh\left(-\frac{qV}{2nk_B T}\right)$$

$$\mu = Lq(1/2\pi m^* kT)^{1/2} \exp(-E_B/kT)$$

J.Y.W. Seto, *The electrical properties of polycrystalline silicon films*, J. Appl. Phys. 46 (1975) 5247.

# Double-Schottky barrier-controlled transport in poly-Si

$$I(V) = 2qn_P \left( \frac{kT}{2\pi m^*} \right)^{1/2} \exp\left(-\frac{qV_B}{k_B T}\right) \sinh\left(-\frac{qV}{2nk_B T}\right)$$

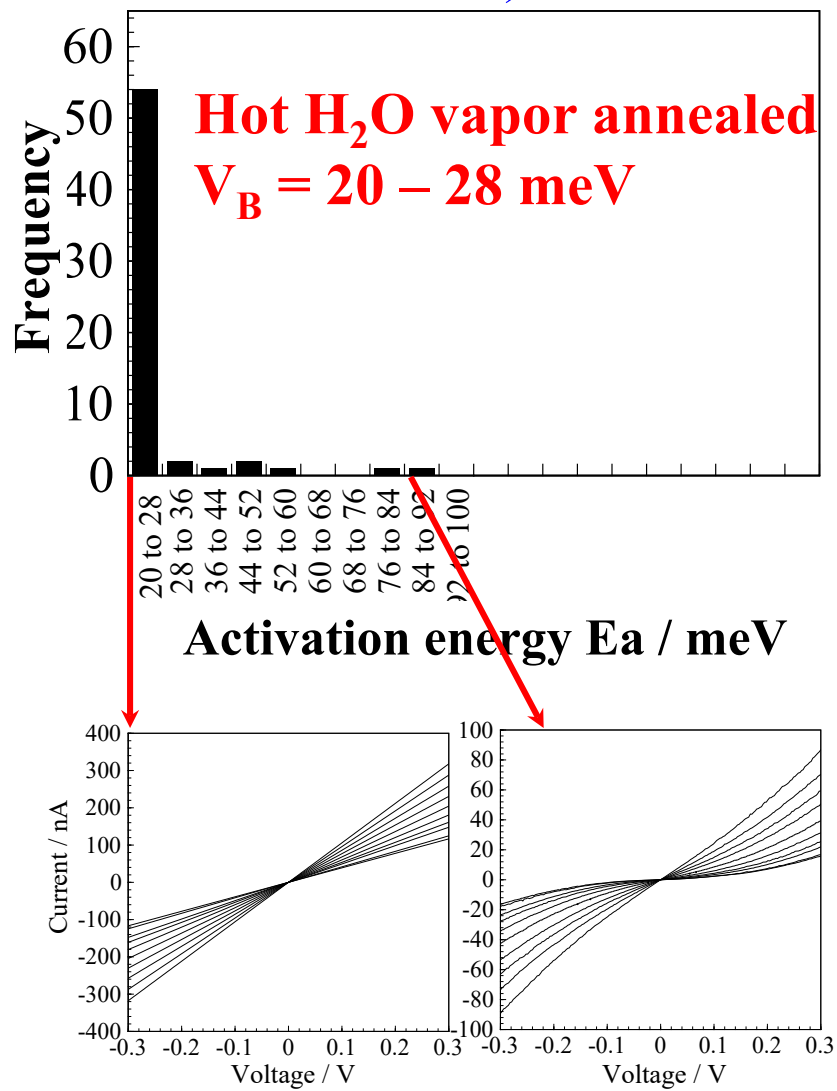
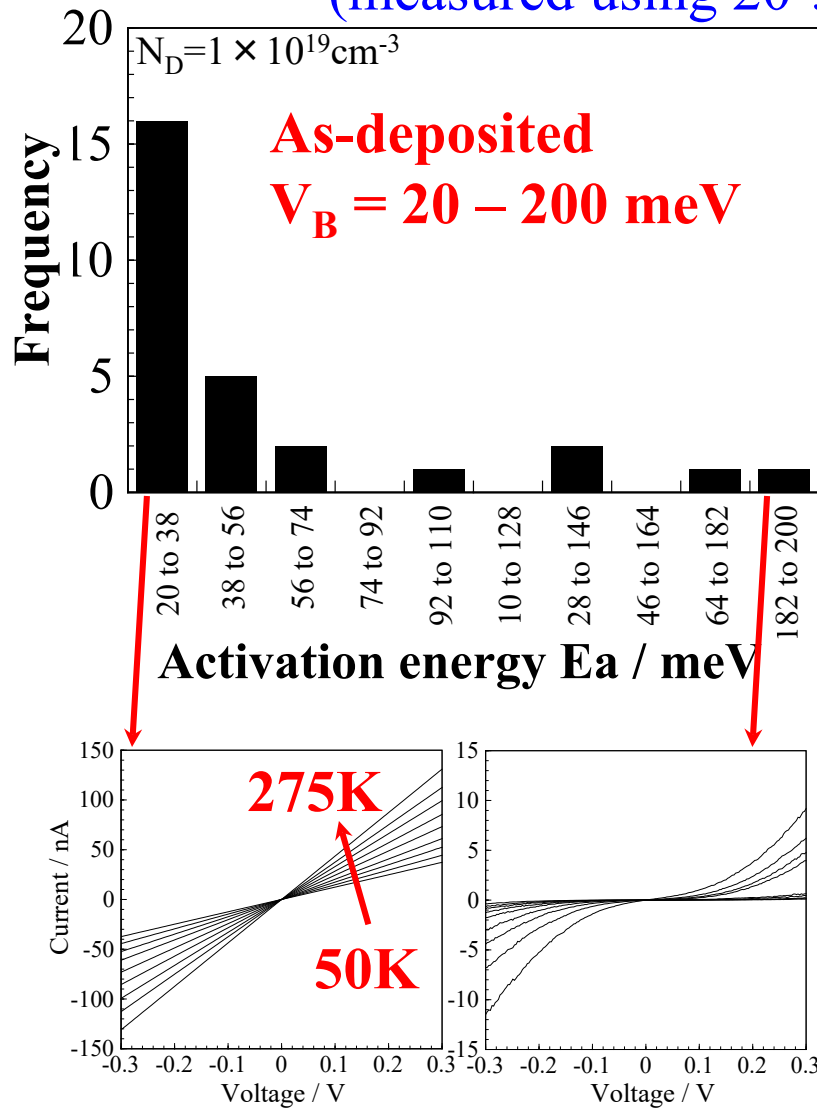


Black: experimental data  
Red: fitting results

$E_a = 10\text{meV}-80\text{meV}$

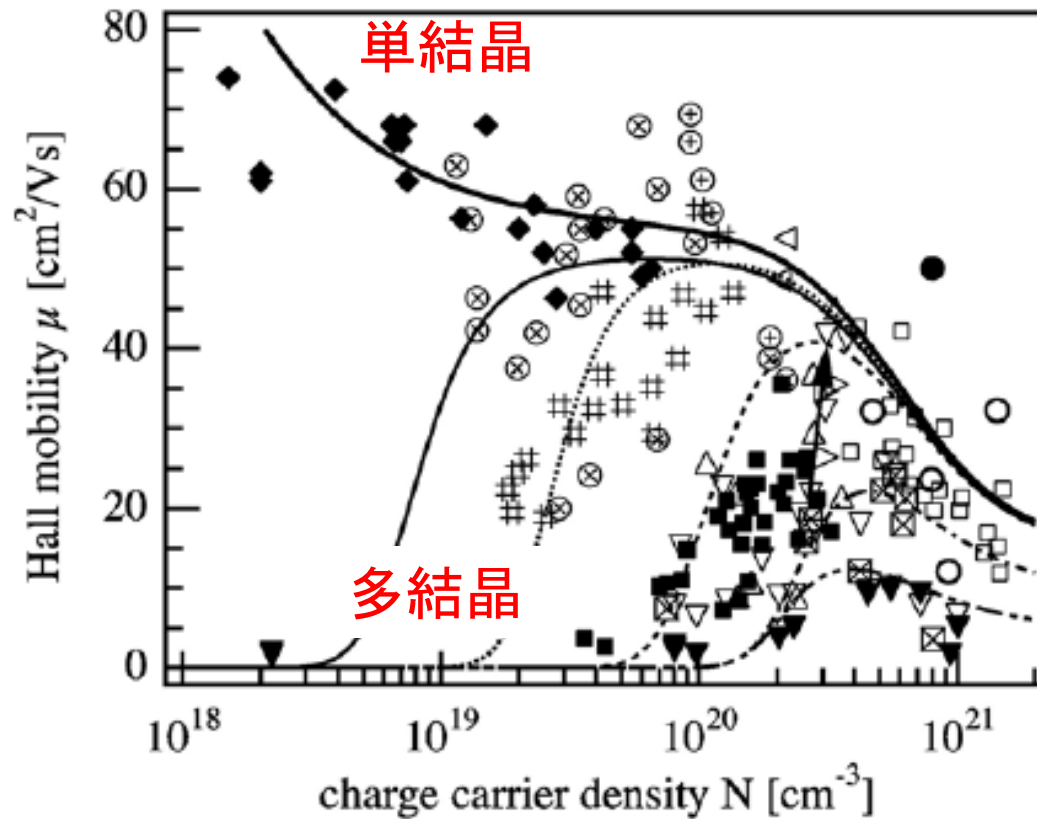
# Distribution in poly-Si GB potential height

(measured using 20-50nm wide nanowires)



# 多結晶ZnOの輸送特性

Ellmer et al., Thin Solid Films **516** (2008) 4620



# DC mobility (Hall) vs in-grain mobility (FCA)

T. Sameshima, K. Saitoh, N. Aoyama, M. Tanda, M. Kondo, A. Matsuda, S. Higashi, Analysis of free-carrier optical absorption used for characterization of microcrystalline silicon films, Sol. Energy Mater. Sol. Cells 66 (2001) 389

P- / B-doped mc-Si:H: 100 W RF PECVD, 180°C, SiH<sub>4</sub>/PH<sub>3</sub>, B<sub>2</sub>H<sub>6</sub>/H<sub>2</sub>  
ELA: 28 ns XeCl excimer laser, 160 to 360 mJ/cm<sup>2</sup>, 5 pulses

